

**Кыргыз Республикасынын Улуттук илимдер академиясынын
М. М. Адышев атындагы геология институту**

**Кыргыз Республикасынын Улуттук илимдер академиясынын
сейсмология институту**

Диссертациялык көңеш Д.25.23.677

Кол жазма укугунда
УДК 550.3;415.550.42(575)

Мукамбаев Айдын Серикович

**Чыгыш Тянь-Шань жана Жунгариянын азыркы сейсмикалуугу жана
палеосейсмологиясы**

25.00.01 - жалпы жана аймактык геология

геология-минералогия илимдеринин кандидаты илимий

даражасын изденип алуу үчүн диссертациянын

Авторефераты

Бишкек - 2025

Иш Кыргыз Республикасы Улуттук илимдер академиясынын сейсмология институтунун "Сейсминалык коркунучту баалоо" лабораториясында жүргүзүлдү.

Илимий жетекчиси: **Абдрахматов Канатбек Ермекович**
геология-минералогия илимдеринин доктору, профессор, Кыргыз Республикасынын Улуттук илимдер академиясынын мүчө-корреспонденти, Бишкек шаары

Расмий оппоненттер: **Жаймина Валентина Яковлевна**
геология-минералогия илимдеринин доктору, К.И. Сатпаев атындагы Геология илимдери институтунун стратиграфия лабораториясынын башчысы, Казахстан Республикасы, Алматы шаары
Туркбаев Пазылбек Борубаевич

геология-минералогия илимдеринин кандидаты, доцент, Б.Н. Ельцин атындагы Кыргыз-Россия Славян университетинин илим борборунун улук илимий кызматкерi, Кыргыз Республикасы, Бишкек шаары

Жетектөөчү мекеме: Азербайжан Улуттук илимдер академиясынын Республикалык сейсмологиялык кызмат борбору, дареги: AZ1001, Баку шаары, Н.Рафибейли көч., 25.

Диссертациялык иш 2025-жылдын 23-майында saat 10-00дө Кыргыз Республикасынын Улуттук илимдер академиясынын М. М. Адышев атындагы Геология жана Улуттук илимдер академиясынын Сейсмология институттарындагы Д 25.23.677 диссертациялык кенешинин жыйынында корголот, дареги: 720040, Бишкек, Эркиндик бульвары 30. Диссертацияны коргоо боюнча видеоконференцияна кириүү шилтемеси: <https://vc.vak.kg/b/252-whl-gq7-1dj>

Диссертациялык иш менен Кыргыз Республикасынын Улуттук илимдер академиясынын М. М. Адышев атындагы Геология институтунун китеңканасында (дареги: 720040, Бишкек, Эркиндик бул., 30) жана Улуттук илимдер академиясынын Сейсмология институтунун китеңканасында (дареги: 720060, Бишкек, Токомбай 7/8), Д 25.23.677 диссертациялык кенештин баракчасынан: https://stepen.vak.kg/d_25_23_677/130448/ тааныштууга болот.

Автореферат 2025-жылдын 19-апрелинде таратылды.

Диссертациялык кенештин окумуштуу катчысы,
география илимдеринин кандидаты, доцент  Э.Т. Токторалиев

ИШТИН ЖАЛПЫ МҮНӨЗДӨМӨСҮ

Диссертациялык иштин темасынын актуалдуулугу. Белгилүү болгондой, активдүү тектоникалык процесстерди изилдөө, жер илимидеги фундаменталдык изилдөөлөрдүн маанилүү бөлүгүн түзөт. Геологиялык жаштыгынан улам рельефте так көрүнгөн активдүү жаракаларды изилдөө жаракалардын параметрлерин сандык мүнөздөөгө гана эмес, Жер бетиндеги ар кандай типтеги чыңалуунун жана ар кандай даражасындагы деформациялык структуралардын бөлүштүрүлүшүнүн жалпы жана жекече мыйзам ченемдүүлүктөрүн кыйла толук жана ар тараптуу көрсөтүүгө мүмкүндүк берет (Трифонов В. Г., Москва ш., СССР, 1978г.).

Казакстандын аймагында Жунгар Алатоо аймагы сейсминалык жактан активдүү райондордун бири болуп саналат. Бул аймакта максималдуу күчү 8ден ашкан зоналар белгиленген, ал эми жер титирөөнүн күтүлүп жаткан сейсминалык интенсивдүүлүгү 9 баллга жетиши мүмкүн. Бирок, заманбап маалыматтар көрсөткөндөй, бир катар себептерден улам сейсминалык коркунучту баалоо төмөндөгөн. Мисалы, 1998-жылдагы Казакстан Республикасынын сейсминалык райондоштуруу картасына ылайык (КР КНЖЭ ылайык 2.03-04-2001), Чыгыш Казакстан аймагында түндүк-чыгыш багытындагы тектоникалык структуралар айырмаланган эмес жана ошого жараша алардын сейсминалык коркунучу бааланган эмес. 2003-жылы Казакстан аймагынын кийинки сейсминалык райондоштуруу картасы түзүлгөн (КР КНЖЭ 2.03-30-2006), мында ушундай структуралар пайда болгон (Лепси жаракасынан тышкары), бирок алардын коркунучу да бааланбай калган.

Сейсминалык коркунучту баалоо негизги активдүү жаракаларды, ошондой эле аймактын заманбап жана тарыхый сейсминалуулугун деталдуу изилдөөгө негизделгени белгилүү. Ошондой эле региондогу инструменталдык байкоолор боюнча маалыматтар да тартылат, алар сейсминалык процесстин өнүгүү тенденцияларын көзөмөлдөөгө жана күчтүү жер титирөөлөрдүн орто жана узак мөөнөттүү божомолу жөнүндө корутунду чыгарууга жардам берет.

Жер титирөөлөрдүн тарыхый каталогдорун жакшыртуу үчүн, Жунгар аймагынын сейсминалык коркунучун баалоонун тууралыгын жогорулатуу, ошондой эле бул региондогу айрым байкалган геодинамикалык көрүнүштөрдүн табиятын жакшыраак түшүнүү мүмкүнчүлүгүн камсыз кылуу максатында, акыркы жылдары ар кандай изилдөөчүлөрдүн палеожертириөлөр жана белгилүү жер титирөөлөрдүн гипоцентрлеринин релокализациясынын натыйжалары жөнүндө алган жаңы маалыматтары колдонулду.

Активдүү жаракаларды табуу жана картага түшүрүү боюнча изилдөөлөрдү жүргүзүү зарылдыгы жаңы аймактарды өздөштүрүү пландарына байланыштуу, баарынан мурда инфраструктуралык объекттердин нормалдуу үзгүлтүксүз иштешин камсыз кылуу максатында алар менен байланышкан сейсминалык коркунучка баа берүүдө жана адамдардын коопсуздугун камсыз кылуу максатында актуалдуу болуп саналат.

Диссертациянын темасынын артыкчылыктуу илимий багыттары, ири илимий программалар (долбоорлор), билим берүү жана илимий мекемелер тарабынан жүргүзүлүп жаткан негизги илимий-изилдөө иштери менен байланышы. Диссертациялык изилдөө Кыргыз Республикасынын Улуттук илимдер академиясынын Сейсмология институтунун «Кыргыз Республикасынын аймагындагы сейсминалык коркунучка жана сейсминалык тобокелдикке баа берүү» (2012–2014 жж.) негизги илимий темасына ылайык жүргүзүлгөн, бөлүм: «Геологиялык маалыматтардын негизинде сейсминалык коркунучту жана сейсминалык тобокелдикти баалоо»; GEM глобалдык долбоорунун ажырагыс бөлүгү болгон Борбордук Азия үчүн жер титирөөнүн моделин түзүү долбоору (2011–2014-жж.); МНТЦнын KR2398 долбоору “Бирдиктүү бюллетең жана Борбордук Азиядагы сейсминалык коркунучту баалоо” (CASHA-BU) (2018–2023 жж.); түзүү үчүн сейсмологиялык маалыматтык базасын түзүү: Казакстан Республикасынын аймагын жалпы сейсминалык райондоштуруу карталары (2014–2016 жж.), Чыгыш Казакстандын аймактарын деталдуу сейсминалык райондоштуруу карталары (2021–2022 жж.).

Изилдөөнүн максаттары жана милдеттери. Бул иштин негизги максаты Чыгыш Жунгариянын аймагынын сейсминалык кооптуулугун активдүү жаракалар жөнүндөгү маалыматтардын негизинде кайра баалоо болгон.

Изилдөөнүн максаттары:

1. Жунгар жарака зонасында болгон эң күчтүү жер титирөөлөрдүн келип чыгуучу зоналары жөнүндө палесейсмологиялык маалыматтарды чогултуу, аймактын азыркы сейсминалуулугу жөнүндө маалыматтарды эске алуу.
2. изилденүүчүй аймактын заманбап сейсминалуулугун талдоо.
3. Жунгар жарака зонасынын сейсминалык коркунучун баалоо.
4. алынган маалыматтардын негизинде потенциалдуу сейсмогендик структураларды аныктоо.

Изилдөөнүн натыйжаларынын илимий жаңылыгы заманбап палесейсмологиялык иштердин натыйжаларын эске алуу менен сейсминалык коркунучтун денгээлин тактоо боюнча илимий-методикалык иш-чаралардын негизделишинде.

•Чыгыш Казакстан аймагы үчүн биринчи жолу бул аймактагы эң башкы жаракалардын (Жунгар жана Лепси жаракалары) сейсминалык коркунучу бааланды.

•Жунгар жаракасы жана ага чектеш Лепси жаракасы чогуу «ачылган» болушу мүмкүн, бул мурда Лепси жаракасындагы беттик ажырымдан болжолдонгон узундукка жылышшу чондуктарынын адаттан тыш жогорку катышына алыш келген. Жаштарын аныктоо боюнча жыйынтыктар эки жарака үчүн эң ақыркы жер титирөө 2000-4000 жыл мурун болгонун көрсөтүп турат. Жер титирөөлөрдүн потенциалдуу максималдуу магнитудасы Жунгар жаракасы үчүн өзүнчө же Лепси жаракасы менен айкалышта тиешелүүлүгүнө жараша $Mw=8.2$ жана $Mw=8.4$ деп бааланат, бул жараканын жылышынын

негизинде болжолдонгон континенталдык жер титирөөлөрдүн эң күчтүүсүнүн бири болмок.

•Алынган маалыматтар Казакстандын ойдуң жерлеринде катуу жер титирөөлөрдүн болушу мүмкүн деген маселеге мамилебизди кайра карап чыгууга мүмкүндүк берет. Биздин маалыматтар көрсөткөндөй, Казакстандын Тянь-Шань менен чектеш түздүк бөлүгүнүн аймактарында өтө сейрек кайталануучу катуу окуялар болушу мүмкүн. Бул ошондой эле аталган аймактын сейсмикалык коркунучун баалоону тактоого мүмкүндүк берет.

Алынган натыйжалардын практикалык мааниси. Изилдөөнүн натыйжалары Чыгыш Казакстан аймагынын сейсмикалык коркунучун баалоо үчүн пайдаланылыши мүмкүн.

Алынган натыйжалардын экономикалык мааниси, сейсмикалык коркунучту жаңыртылган баалоодо эске алынган, кыйратуучу жер титирөөлөрдүн потенциалдуу зыянын төмөндөтүүдө жатат. Тянь-Шанга чектеш түздүк аймактарда күчтүү сейсмикалык кубулуштар (магнитудасы M_w 7.5–8.4) болгон учурда, түздөн-түз экономикалык зыян 100 миллиондон бир нече миллиард АКШ долларына чейин жетет, анын ичинде турак жайлардын, инфраструктуранын, социалдык мекемелердин талкаланышы, ошондой эле калыбына келтириүү иштеринин чыгымдары. Баалоонун жыйынтыктарын колдонуу жер титирөөгө туруктуу объектилерди долбоорлоо жана аймактарды компетенттүү райондоштуруу аркылуу бул жоготууларды олуттуу түрдө төмөндөтүүгө мүмкүндүк берет.

Коргоо үчүн сунушталган негизги жоболор.

1. Жунгариянын негизги жаракалары (Жунгар жана Лепсин жаракалар) магнитудасы 8.2–8.4 жетken катуу жер титирөөлөрдү жаратат;
2. Мындан 400 жылдай мурун Жунгарияда магнитудасы 7.5–8.2 жана 7.5 болгон эки өзүнчө катуу жер титирөөлөр – Лепсинское жана Текесское болгондугу аныкталган, бул мурда Түштүк Тянь-Шандын Көкшал зонасынын аймагына тиешелүү болгон бир эле окуянын фактысын жокко чыгарат;
3. Сейсмикалык коркунучту баалоодо инструменталдык байкоолорго салуштурмалу алда канча узак мезгилди камтыган маалыматтар эске алып керек, анткени туруктуу региондордо Лепси жаракасынын мисалы көрсөткөндөй активдүү жана потенциалдуу коркунучтуу түзүлүштөр болушу мүмкүн;
4. Жунгариянын ар кайсы райондорундагы негизги жер титирөөлөрүндө жана алардын афтершокторунда окшош сценарий фактысы аныкталды;
5. Жаракага жакын зонанын сейсмикалуулугун талдоо жана эпицентрлерди сегментациялоо эң активдүү аймактарды аныктоого мүмкүндүк берет.

Автордун жеке салымы иштин бардык этаптарын жүргүзүү, анын ичинде:

– изилдөө темасы боюнча ата мекендик жана чет элдик адабият булактарын карап чыгуу;

– спутниктик маалыматтарды чогултуу, талдоо жана иштетүү, Жунгар жана Лепси жаракаларынын зоналарында жылыштарды өлчөө менен талаа иштерин жүргүзүү, үлгүлөрдү кыймылдардын жашын аныктоо үчүн тандап алуу ж.б.,

– Жунгариянын негизги жаракаларынын зоналарында жаракага жакын рельефти өнүктүрүүнүн санаариптик моделдерин куруу жана бул аймактын сейсминалык коркунучун баалоо

– Казакстандын аймагындагы жана Кытай Республикасынын чек ара аймактарындагы сейсминалык булактардын мүнөзүн таануу, Заманбап ILos программасында RSTT ылдамдыгынын аймактык моделдерин колдонуу менен сейсминалык окуялардын ордун которуу

– палеожертириөлөр боюнча жаңы маалыматтар менен жер титирөөлөрдүн бирдиктүү каталогун түзүү, ArcGIS, QGIS, GMT, PyGMT, Python ж.б. сыйктуу заманбап программалык камсыздоолорду колдонуу менен ар кандай тематикалык карталарды, графиктерди түзүү жана оцифровкалоо.

Диссертациянын жыйынтыгын аprobациялоо. Диссертациялык иштин негизги жоболору жана корутундулары эл аралык илимий-практикалык конференцияларда талкууланган: «Ядролук сыноолорго жана алардын кесепттерине мониторинг жүргүзүү» ядролук сыноолорго ар тарааптуу тыюу салуу жөнүндө Эл аралык келишимди колдоо (Алматы, 6-10-Август, 2018-жыл); эл аралык конференция «Спитак жер титирөөсү 30 жылдан кийин: тажрыйба жана перспективалар» (Ереван, 3-7 декабрь 2018-ж.); Европалык Жер жөнүндөгү илимдер бирлигинин Башкы ассамблеясында (EGU2020, 4-8 май 2020 ж., онлайн); «Казакстан Республикасынын аймагында сейсминалык коркунучту баалоонун жана жер титирөөлөрдү болжолдоонун заманбап ыкмалары» (Алматы, 16-18 июнь 2022-ж.); «Илим жана технологиялар» эл аралык конференциясы (Вена, 2019-ж., 2021-ж., 2023-ж.); «Семипалатин сыноо полигону: Мурас жана илимий-техникалык потенциалын өнүктүрүүнүн келечеги» X - эл аралык конференция (Курчатов, 12-14 сентябрь 2023-ж.); «Борбордук Азиядагы жер титирөөнүн болжолу, сейсминалык коркунучту жана сейсминалык тобокелдикти баалоо» XI Казак-Кытай эл аралык симпозиуму (Алматы, 26-28 сентябрь 2023-ж.);

Диссертациянын жыйынтыктарынын басылмаларда чагылдырылышынын толуктугу. Диссертациянын материалдары боюнча 14 илимий макала КР УИАсы тарабынан сунуш кылынган басылмаларда жарыяланган, басылмаларда, анын ичинде Web of Science, Scopus жана РИНЦ системаларына кирген басылмаларда.

Диссертациянын структурасы жана көлөмү. Диссертациялык иш кириш сөздөн, төрт бөлүмдөн, корутундудан жана 196 атальштан турган адабият тизмегинен турат. Негизги мазмуну 120 барактан туруп, 44 сүрөт жана 5 таблица камтылган.

ДИССЕРТАЦИЯЛЫК ИШТИН НЕГИЗГИ МАЗМУНУ
КИРИШҮҮ. Теманын актуалдуулугу берилген, изилдөөнүн максаты жана милдеттери баяндалган, негизги корголуучу жоболор аныкталган, изилдөөнүн методдору келтирилген, илимий жаңылыгы, иштин практикалык

жана экономикалык баалуулугу аныкталған, ошондой эле изденүүчүнүн жеке салымы белгиленген, басылмалар, жыйынтыктардын апробациясы жана диссертациянын структурасы кыскача баяндалған.

1-БӨЛҮМ. АДАБИЯТКА СЕРЕП. Жунгар Алатоо аймагын изилдөөнүн кыскача баяндамасы берилди, Тянь-Шань жана Жунгар жер титирөөлөрү, сейсмикалык мониторинг тармактарынын конфигурациясынын өзгөчөлүгү жана өкүлчүлүгү келтирилди.

Жунгариянын алгачкы геологиялык изилдөөлөрү рекогносценттик мүнөздө болгон. Алардын катарына А. М. Шернк (Санкт-Петербург ш., Россия, 1840-ж.), В. Влангали (Санкт-Петербург ш., Россия, 1853-ж.), И. В. Мушкетов (Санкт-Петербург ш., Россия, 1886-ж.) Г.Д. Романовский (Санкт-Петербург ш., Россия, 1878-ж.), Закржевский Р. (Омск ш., Россия, 1893-ж.), В. А. Обручев (Ленинград шаары, СССР, 1940-ж.) ж. б. геологиялык бөлүмдөрдүн жана тектониканын жалпы контурлары белгиленген эмгектер киред.

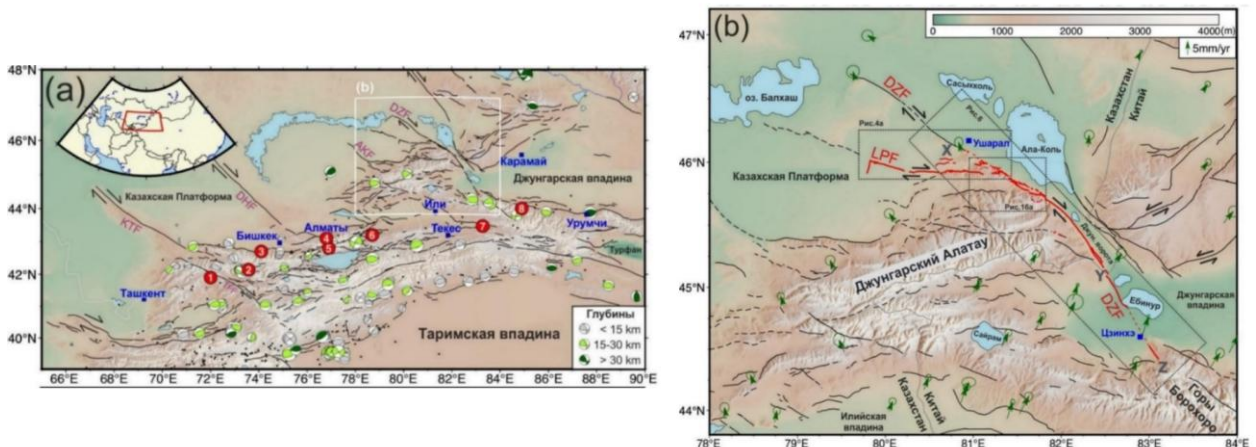
1906-жылы А.К. Майстер биринчи геологиялык картаны түзгөн, 1916-жылы Н.Г. Кассиндин жетекчилиги боюнча геологиялык жана гидрологиялык изилдөөлөр жүргүзүлгөн жана 1:420000 масштабындағы геологиялык карта түзүлгөн. Бир нече жылдар бою (1933-1938-жж.) Жунгар Алатоосунда чоң геологиялык иштерди М.М. Юдичев жүргүзгөн, ал жеке байкоолорунун жана башка авторлордун эмгектеринин негизинде 1:1000000 масштабындағы геологиялык картаны түзгөн жана «Жунгар Алатоо» (Москва шаары, Ленинград шаары, СССР, 1940-ж.) монографиясын жазған, анда стратиграфия, тектоника жана пайдалуу кендер деталдуу түрдө эскертилед.

Жунгар Алатоо аймагы Сваричевская З. А. (Ленинград ш., СССР, 1952-ж.), В.С. Войтович (Москва ш., СССР, 1969-ж), К. В. Курдюков (Москва ш., СССР, 1953-ж.), В. В. Галицкий (Алма-Ата ш., КазССР, 1957-ж.), Афоничев Н. А. (Алма-Ата ш., КазССР, 1960-ж.), Диценко-Кислицына Л. К. (Алма-Ата ш., КазССР, 1966, Алматы ш., Казахстан, 2006-ж.), Новиков И. С. (Новосибирск ш., Россия, 2014-ж.) сыйктуу көптөгөн мыкты изилдөөчүлөр тарабынан изилденген. Аталган аймактын геоморфологиясынын жана жаңы тектоникасынын негизги өзгөчөлүктөрү аныкталды, палеоген-неоген жана төрттүк катмарлардын стратиграфиясынын жергиликтүү схемалары иштелип чыкты жана түзүлдү, рельефтин өнүгүшүнүн негизги этаптары аныкталды ж. б.

Акыркы эки кылым ичинде Тянь-Шандын чектеринде жана анын айланасында бир катар кыйратуучу жер титирөөлөр болуп өттү, аларга 1812-жылы болгон Нилканын силкинүүсү $Mw=8.0$ магнитудасы менен, 1906-жылы болгон Манас $Mw=7.7$ зилзаласы Тянь-Шандын чыгыш бөлүгүндө Борохоро-Шанга жанаша жайгашкан (1.1, а сүрөттү караңыз). Тянь-Шандын түндүк четинде, анын ичинде Бишкек жана Алматы шаарларына жакын аймактарда 1885-жылдагы Беловодск жер титирөөсүнөн ($Mw=6.9$) Бишкектен батышка карай эпицентралдык зона менен, андан кийин 1887-жылдагы Вернен жер титирөөсү ($Mw=7.3$) бир катар зыян келтирип, Алматы шаарынан батышка карай көнири жер көчкүгө алыш келген, 1889-жылы Чилик жер титирөөсү

($Mw = 8.0$ -8.3) жана 1911-жылы Кемин жер титирөөсү ($Mw=8.0$). Тянь-Шандын батыш бөлүгүндө 1946-жылы Чаткал ($Mw=7.6$) жана Суусамыр жер титирөөлөрү болгон (1992-жылы $Mw=7.2$).

Жунгар Алатаунун айланасында инструменталдык жактан катталган ири жер титирөөлөр салыштырмалуу аз (1.1а сүрөттү караңыз), бирок тарыхка чейинки өткөн мезгилде жер үстүндөгү олуттуу жаракалардын көптөгөн далилдери бар, анын ичинде 120 чакырымдык беттик ажырым Лепси жаракасы боюнча ~ 8-14 м жылышшуу менен жана Текес аймагында 70 м жер үстүндөгү жарака 8 м жылышшуу менен (1.1, а сүрөттү), экөө тең 1716-жылы катуу жер титирөөнүн потенциалдуу булагы катары сунушталган.

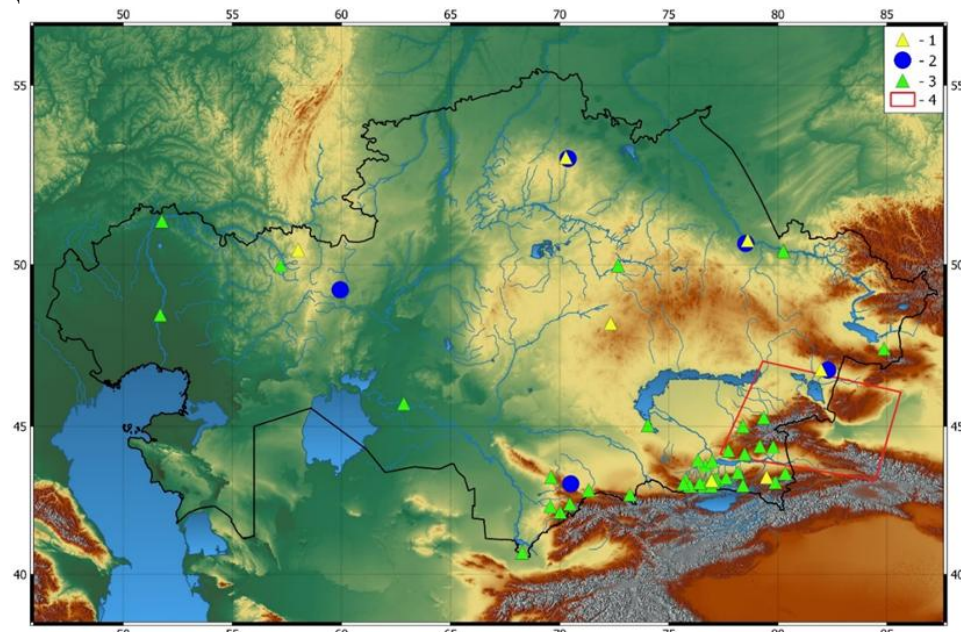


1.1- Сүрөт. Тянь-Шань менен Жунгариянын топографиясы, активдүү жаракалары, тандалган тарыхый жер титирөөлөрү жана GPS ылдамдык векторлору: (a) $Mw > 5$ болгон жер титирөөлөрдүн очокторунун механизмдері; Номерленген кызыл тегерекчелер - кыйратуучу жер титирөөлөрдүн очогу: 1) Чаткал 1946-ж., 2) Суусамыр 1992-ж., 3) Беловодский 1885-ж., 4) Вернен 1887-ж., 5) Чоң-Кемин 1911-ж., 6) Чилик 1889-ж., 7) Нилки 1812-ж., 8) Манас 1906-ж.; (б) кызыл сзыктар - изилдөөдө көрсөтүлгөн жердин бетиндеги ажыроолору. X жана Y чекиттери уч негизги тилкелеринин (Түндүк-батыш, борбордук жана түштүк-чыгыш) чектери. Биздин изилдөөдө колдонулган *Pléiades* спутниктик сүрөттөрүнүн камтуусу X чекитинен Z чекитине чейин созулат. Көгүлтур - шаарлар; KTF – Каратай жаракасы, DHF - Жалайыр-Найман жаракасы, AKF – Актас жаракасы, DZF - Жунгар жаракасы, TFF: Талас-Фергана жараксы.

Батыш Тянь-Шань жылышна 15-22 мм ылдамдыкта жер кыртышынын кыскарышын башынан кечирүүдө, бул Индия жана Евразия плиталарынын кагылышуусунан улам кыскаруунун жалпы ылдамдыгынан эки эсэ аз. Бул кыскаруу ылдамдыгы чыгышта төмөндөйт, ал эми параллелдүү сол жылышшуу жогорулайт. Меридионалдык жыйрылуу орогендин четинде да, ичинде да кендикитин активдүү ағындыларынан келип чыгат. Талас-Фергана жана Жунгар сыйктуу ири оң жылышшуу жаракалары да тик огуунун айланасында айлануу менен кыскарууга жардам берет. Жунгар Алатаосунда жана тоолуу аймактардын түндүгүндө кыскаруу жылышна болжол менен 1-3 мм жана жылышна 2 мм түзөт.

Тұштүк, Тұштүк-Чыгыш Казакстандын (Тянь-Шань жана Жунгар Алатау) көрүнүктүү өзгөчөлүктөрүнүн бири – бир катар жаңы жаракалардын бардыгы, алардын орогеника аймагынан башталып, тұндук-батыш тарапка созулуп, Казак платформасынын жарып өтөт (Чыгыш жана Батыш Жунгар, Жалайыр-Найман, Карагату жаракалары (Войтович, Суворов, Курскеев) (1.1, а сүрөттүү караңыз). Бирок, рельефте көрсөтүлгөн жаракалардын жетишерлик жакшы болушуна карабастан, бул жаракалар кеч плейстоцен-голоцен мезгилинде активдүү болгонун көрсөткөн далилдер өтө аз жана бул жаракалардын ичинде катту жер титирөөлөр болгонун көрсөткөн далилдер дагы аз. Ошондуктан бул жарылуу структураларынын сейсмикалық коркунучун баалоо көп учурда төмөндөйт жана мынданай жаракалардын айрымдары мынданай изилдөөлөрдө такыр эске алынган эмес.

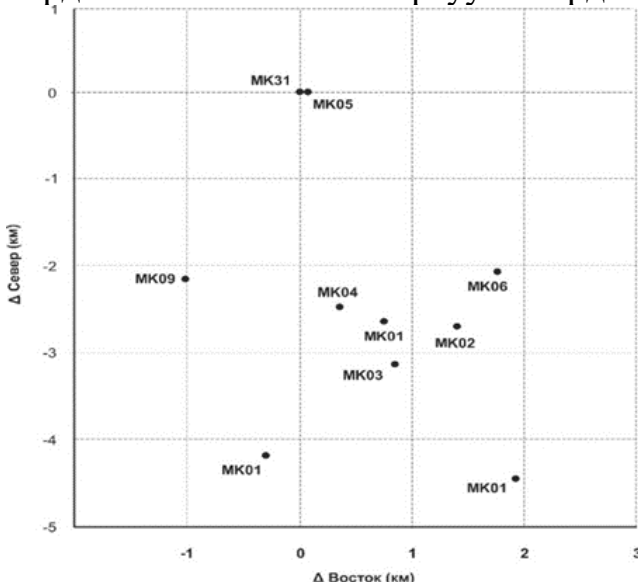
1.2-сүрөттө Казакстан Республикасынын Улуттук ядролук борборунун Геофизикалық изилдөөлөр институтунун (КР УЯБ ГИИ) тармагынын заманбап сейсмикалық станцияларынын жана Казакстан Республикасынын Өзгөче кырдаалдар министрлигинин сейсмологиялық байкоолор жана изилдөөлөр Улуттук илимий борборунун (КР ӨКМ СБИУИБ) жайгашкан жерлеринин картасы көрсөтүлгөн. Азыркы учурда изилдөө районунда (Жунгар) алты сейсмикалық станция, КР ӨКМ УСБИИБ жана КР ГИИ УЯБ эки станциясы иштеп жатат.



1.2-Сүрөт. КР ӨКМ УСБИИБ жана КР УЯБ тармактарынын сейсмикалық станцияларынын жайгашуу картасы: 1 - КР УЯБ тармагынын уч компоненттүү станциялары; 2 - КР УЯБ тармагынын сейсмикалық тобу; 3 – КР ӨКМ УСБИИБнын уч компоненттүү станциялары; 4- Жунгария изилдөө аймагынын чек арасы.

Казакстан Республикасынын ГИИ УЯБ тармагынын өзгөчөлүгү, ал негизинен ар кандай конфигурациядагы сейсмикалық топтордон турат. 1.3-сүрөттө 9 элементтен турган Маканчи сейсмикалық тобунун конфигурациясы көрсөтүлгөн. Сейсмикалық топтор жайгашкан аймактагы сейсмикалық ызы-чуулардын төмөн деңгээли менен мүнөздөлүүчү бардык Казакстан

станцияларынын ичинен сейсмикалык сигналдарды каттоо үчүн эң жакшы шарттар менен айырмаланат. Сейсмикалык топтор үч компоненттүү станцияларга караганда бир нече негизги артыкчылыктарга ээ. Бул топтор сигнал/ызы-чуу катышын жогорулатуу үчүн колдонулушу мүмкүн, бул сигналды фондук ызы-чуудан изоляциялоону жеңилдетет. Сейсмикалык топтор ошондой эле сейсмикалык сигналдардын келүү азимутунун жана салыштырмалуу ылдамдыгынын так баасын берет. Бул маалымат сейсмикалык булактардын тактыгын жакшыртууга жардам берет.



1.3-Сүрөт. Маканчы сейсмикалык тобунун конфигурациясы.

Азыркы учурда сейсмикалык станциялардын тармагы Түндүк Тянь-Шань жана Түштүк Жунгария боюнча $K \geq 7.5$ энергетикалык класстар үчүн жер титирөөнүн репрезентативдик каттоо деңгээлин камсыз кылат, Заилий жана Күнгөй Алатоо кыркаларынын борбордук бөлүгүндө $K > 6.0$ жана Түштүк-Чыгыш Казакстандын аймагында $K > 8.0$. Казакстандын бүткүл аймагы үчүн $K_{min} = 8.6$ болгон жер титирөөнүн репрезентативдик каттоосу каралган [39].

1- БӨЛҮМ. ИЗИЛДӨӨ МЕТОДОЛОГИЯСЫ ЖАНА МЕТОДОРУ

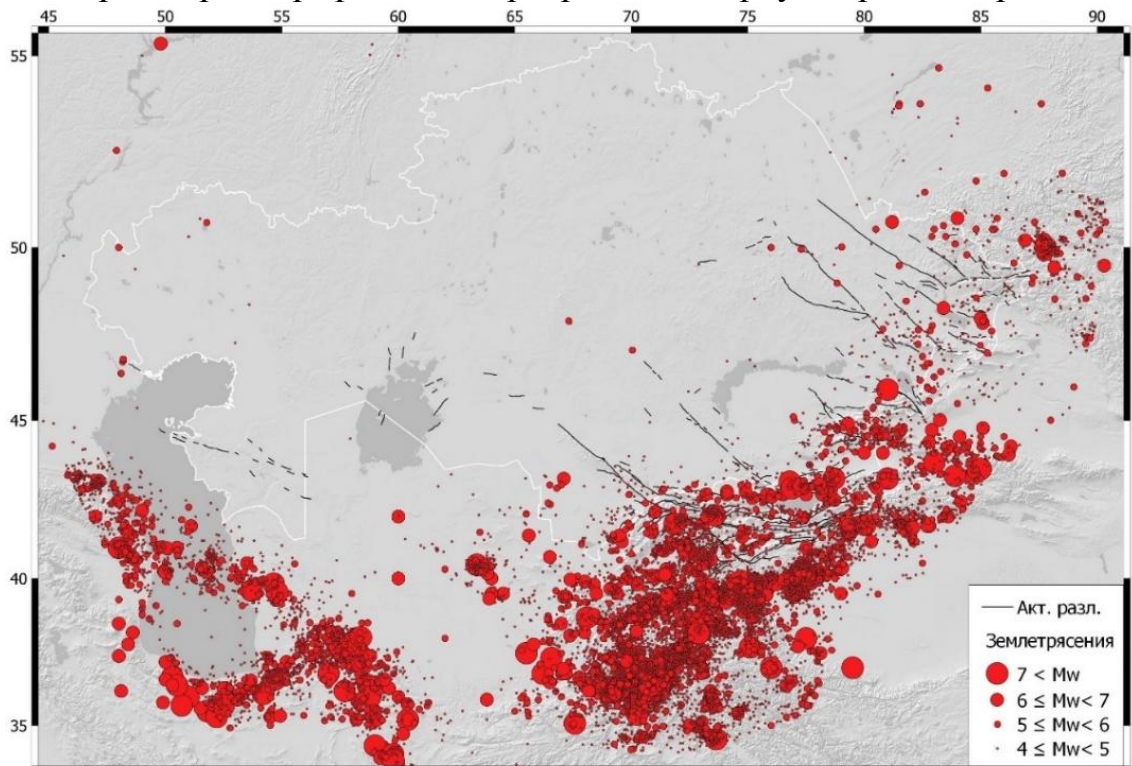
Изилдөөнүн объектиси болуп активдүү жаракалар, Жунгардын тарыхый жана заманбап сейсмикалуулугу болуп саналат саналат.

Изилдөөнүн предмети: Жунгариянын аймагында аныкталган Чыгыш Тянь-Шандын ири континенталдык жер титирөөлөрүнүн пайда болуу шарттары жана мунездемелөрү.

Борбордук Азиядагы жер титирөөлөрдүн каталогдору сүрөттөлгөн, Жунгар жаракасынын мейкиндик-убакыт анализи жана сегментациялоо жүргүзүлгөн. Маалыматтардын региондук жана глобалдык борборорунун маалыматтары боюнча изилдөө районунун жер титирөө очокторунун механизмдери каралды. Палеожер титирөөнүн талаа жана лабораториялык изилдөө ыкмалары жана алардын убактыларын белгилөө сүрөттөлгөн.

Изилдөө районунун сейсмикалуулугун талдоо үчүн төмөнкү эл аралык долбоорлорду аткаруунун алкагында түзүлгөн Борбордук Азиядагы жер титирөөлөрдүн каталогдору колдонулду: «Борбордук Азиядагы сейсмикалык коркунучка баа берүү» CASRI 2006-2009-жж., «Борбордук Азиядагы жер

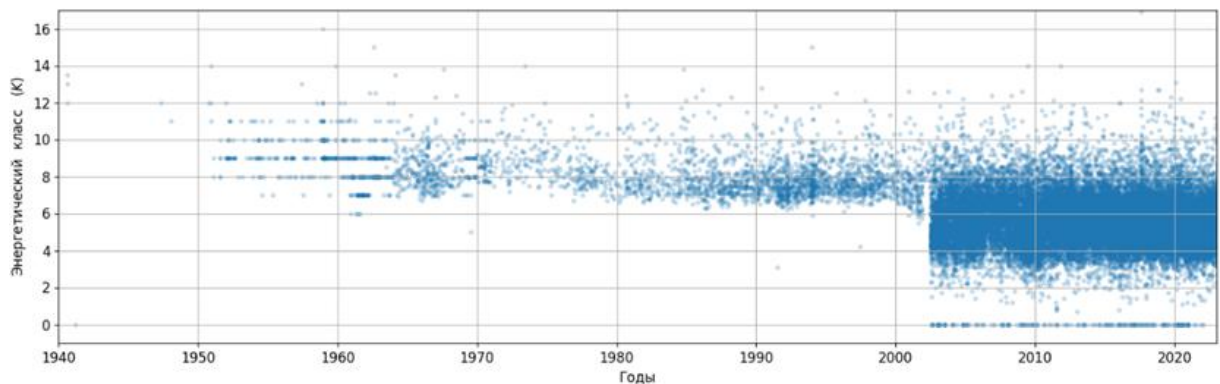
титирөөлөрдүн модели» ЕМСА 2009-2014-жж., «Борбордук Азиядагы сейсмикалык коркунучка баа берүү жана бүллөтөндөрди унификациялоо CASHA-BU 2018-2023-жж. 2.1- сүрөттө CASHA-BU каталогуна кирген күчү $Mw \geq 4$ жер титирөөлөрдүн эпицентрлеринин обзордук картасы берилди.



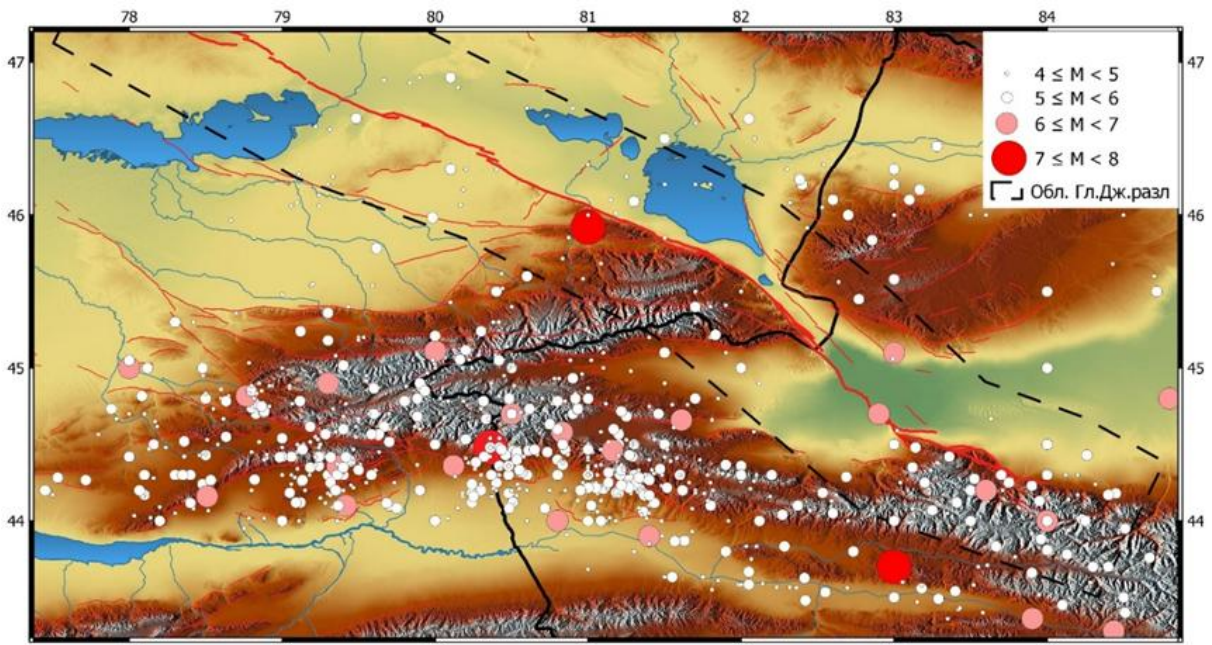
2.1-Сүрөт. CASHA-BU каталогунун маалыматы боюнча Борбордук Азиядагы болгон жер титирөөлөрдүн эпицентрлеринин картасы (тарыхый мезгилден 2017-жылга чейин $Mw \geq 4$).

Жунгария аймагындағы жер титирөөлөрдү аспаптық каттоо 1940-жылдан башталған. Станциялардың саны көбөйгөн сайын (1980-2000-жж.) сейсмикалык окуяларды өкүлдүк каттоо деңгээли өзгөргөн. 2002-жылдан бери сейсмикалык окуялардың санының кескин көбөйшүү жана минималдуу магнитуданын деңгээлинин төмөндөшү байкалууда (2.2-сүрөттүү караңыз) - бул КР ГИИ УЯБ сейсмикалык мониторингинин атаяны тармагын түзүү жана КР УЯБ ГИИ маалымат борборунда региондук сейсмологиялык бүллөтенди түзүнүн башталышы менен байланыштуу.

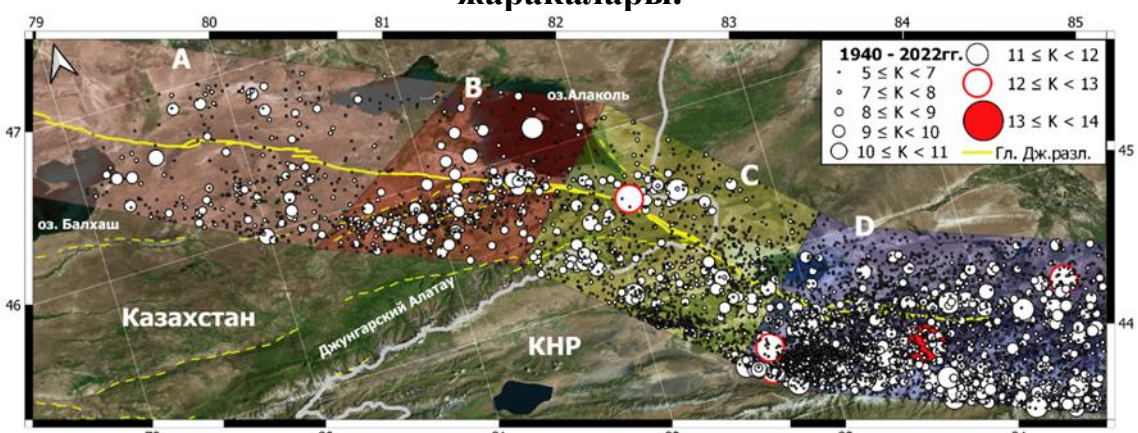
2.3-сүрөттө ЕМСА каталогунун маалыматы боюнча Жунгариянын $M \geq 4$ болгон жер титирөөлөрүнүн эпицентрлеринин жана активдүү жаракаларынын картасы келтирилген (байыркы мезгилден тартып 2009-жылга чейин), үзүк сзыктар менен негизги Жунгар жаракасын бойлото эни 50 км зона бөлүнгөн, ал үчүн CASHA-BU каталогунун маалыматтары боюнча деталдуу талдоо жүргүзүлгөн (2.4-сүрөттүү караңыз). Жараканы сегментациялоо жүргүзүлдү жана ар бир сегмент үчүн кайталанма графиктер түзүлдү (2.5-сүрөттүү караңыз). D сегментинде инструменталдык мезгилде эң күчтүү жер титирөөлөр болуп турган жана жер титирөөлөрдүн саны калгандарына караганда көбүрөөк болгон (2.5-сүрөттүү караңыз). Бул, учурда Жунгар жаракасынын ушул сегменти активдүү фазада экенин далилдей алат.



2.2-Сүрөт. Жунгариянын аймагы үчүн CASHA-BU жер титирөө каталогунун толуктугуунун графиги.



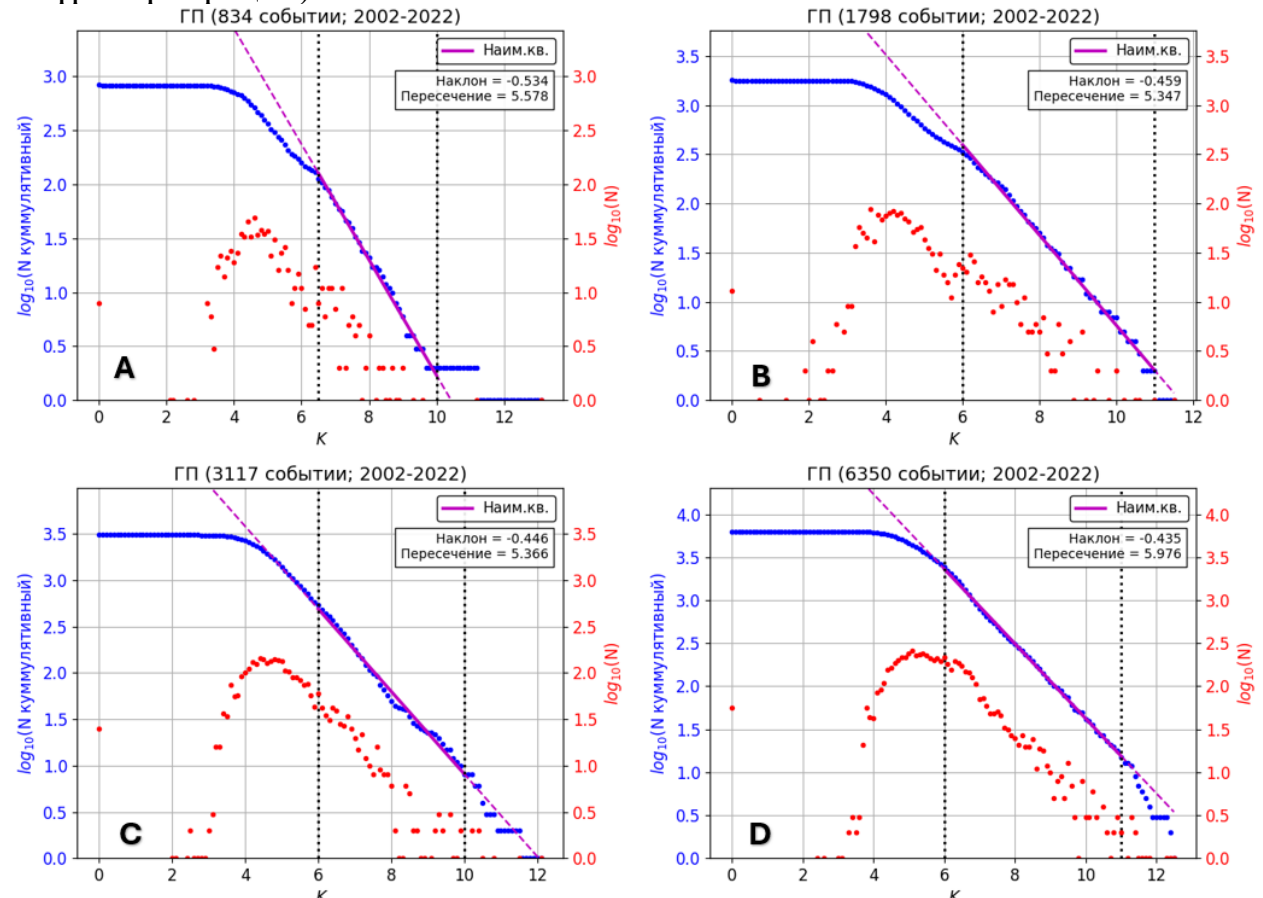
2.3-Сүрөт. Жунгариянын $M_w \geq 4$ болгон жер титирөөлөрүнүн эпицентрлеринин картасы (ЕМСА каталогу) жана активдүү жаракалары.



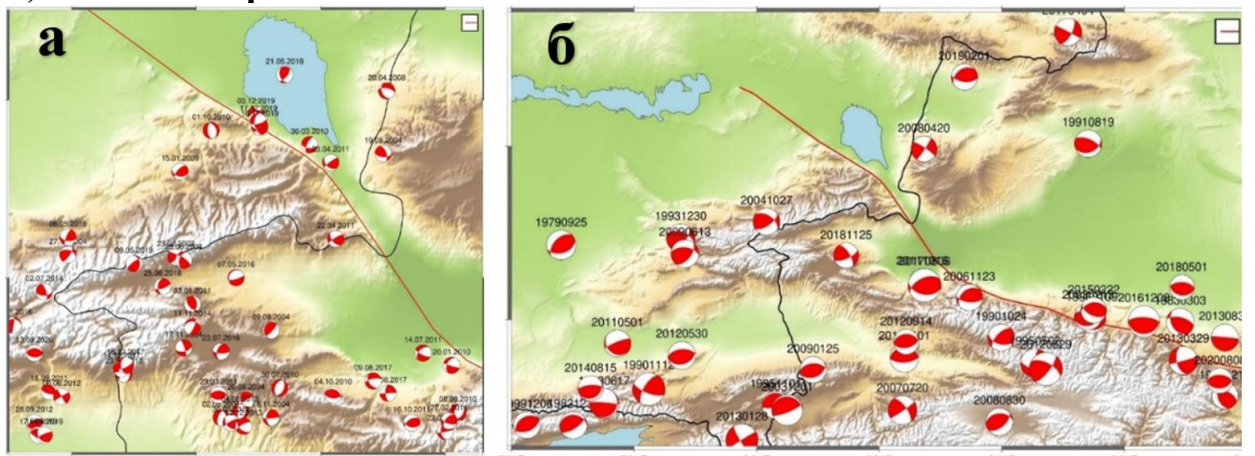
2.4-Сүрөт. Башкы Жунгар жаракасынын аймагындагы $K \geq 5$ (1940-2022 жж.) болгон жер титирөөлөрдүн эпицентрлеринин картасы.

УСБИИБ жана ГИИ маалыматтары боюнча, жер титирөөлөрдүн очоктору негизги Жунгар жаракасынын Алакөл көлүнүн аймагындагы Казахстан сегментине эки нодалдық тегиздикте күймұлдардың жылышшу

мүнөзүнө ээ экени туура келет. Чыңалуунун кысуу жана чоюлуу оқторуу жакын – горизонталдуу, жакын – меридионалдык кысуу багыты жана жакын-көндик чоюлуу. Жер титирөөлөрдүн басымдуу көпчулүгү түндүк-батыш тегиздиктердин бириnde, ошону менен бирге анын ичинде жылышуулар болгон, же кичинекей ылдайга жылышуу компоненти менен жылыштар (2.6, а сүрөттү караңыз).



2.5-Сүрөт. Үегизги Жунгар жаракасы аймагында жер титирөөлөрдүн кайталанышынын графиги. 2002–2022-жылдар үчүн А, Б, В, Г сегменттери.



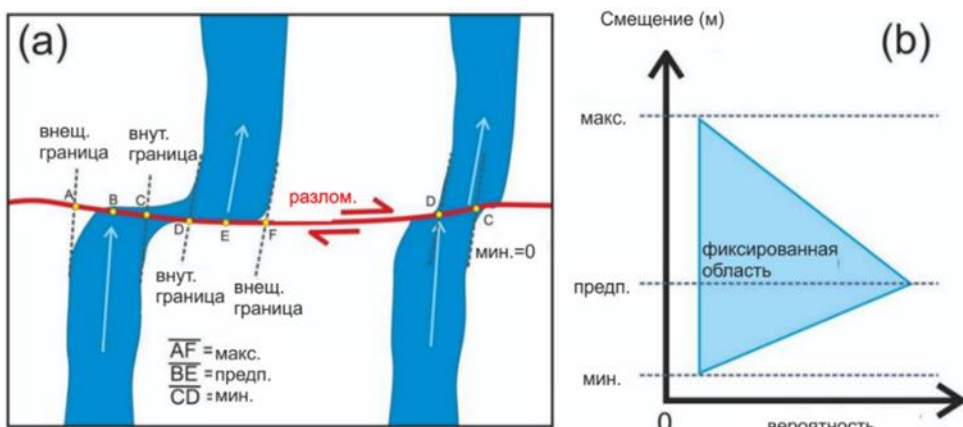
2.6-Сүрөт. (а) СОМЭ жана ГИИ каталогу боюнча, (б) GCMT каталогу боюнча Жунгар-Түндүк-Тянь-Шан аймагындағы жер титирөө очокторунун механизмдеринин картасы.

Сейсмикалык моменттин центроид тензорунун глобалдык каталогунда (GCMT) Казакстандын аймагында очоктору бар жер титирөөлөр боюнча маалыматтар жок экендигин белгилей кетүү керек. Жунгар жаракасынын чыгыш бөлүгүндө жакынгоризонталдык субмеридионалдык кысуу жана кыймылдардын ылдайга түшүү, түшүү-жылышуу түрү басымдуулук кылат (2.6, б сүрөттүү караңыз).

Сүрөттөрдү шишең чыгуу жана жер-жерлерде маалыматтарды чогултуу. Жерди аралыктан зонддоо (ЖАЗ) маалыматтары жер бетиндеги ажыроолорду талаа иштери аркылуу өлчөө менен айкалыштырылган. Google Earth жана Bing сыйктуу ачык булактардан ошондой эле Pléiades коммерциялык оптикалык спутник сүрөттөрү колдонулган.

Жердин рельефин талдоо үчүн Улуттук аэронавтика жана космос мейкиндигин изилдөө башкармалыгынан (NASA) берилген 8 м уруксат менен High Mountain Asia (HMA) рельефинин санариптик модели (PCM) колдонулган. Бул PCM биринчи жолу Лепса жаракасы боюнча беттик ажыроолорду изилдөө үчүн колдонулган.

Жунгар жаракасы боюнча Stereo Pléiades спутниктик сүрөттөрдүн негизинде метрлик уруксаты менен PCM алынды. Ошондой эле учкучусуз учуучу аппараттардын (УУА) талаа шарттарында алынган дециметрдик уруксаты бар сүрөттөрдүн жардамы менен негизги тилкелердин PCM да түзүлгөн.



2.7-Сүрөт. Спутниктен алынган сүрөттөдү колдонуу менен суу ағымдарынын нугу боюнча капталдан жылышууну өлчөө -

(a) жана ар бир өлчөө үч бурчтук катары кантип көрсөтүлөрүн иллюстрациялоо, анын тыгыздык ыктымалдуулук функциясын көрсөтүү үчүн (b).

Жылышууларды өлчөө сапатына жараша (жогорку, орто жана төмөнкү) болуп нуктардын бурмалуулугуна жана кескиндүүлүгүнө байланыштуу үч категорияга бөлүндү. Ар бир өлчөө мындан ары туруктуу аяны бар үч бурчтук катары көрсөтүлгөн жеке тыгыздык ыктымалдык функциясына (PDF) кошулду (2.7-сүрөттүү караңыз), жана чокулангандык жылышуу ыктымалдыгын бөлүштүрүү (COPD) функциясын түзүү үчүн үйүлгөн, ал ченелген жылышуу маанилериндеги чокуларды аныктоо үчүн колдонулушу мүмкүн. Изилдөө учурунда бардыгы болуп 260 капталдан жылып кеткен нуктар өлчөнгөн, анын

ичинде Жунгар жаракасынын түштүк бөлүгүн бойлой 179 нук, кыймыл басымдуу түрдө декстралдык мүнөзгө ээ.

Кырка профилдери талаа шарттарында дифференцияланган GPS методу (dGPS) аркылуу өлчөнгөн же PCM ден алынган Terrain Profile Tool инструментин колдонуу менен QGIS программасында 100–200 м узундуктагы бир жол профилдери жээктөргө болжол менен перпендикуляр багытынан ченелген.

Төртүнчүлүк мезгилдин чөкмөлөрүн таануу ашказан буттуу моллюскаларды радиокөмүртектүү анализи жана пост-инфракызыл стимулдаштырылган люминесценция анализи (post-IR IRSL) (Шеффилд университетинин лабораториясында) К-талаа шпатынын чөкмөлөрүнүн жеке дандарынын анализдерин колдонуу менен аныкталган.

2.1-таблица. Көмүртек жана инфракызыл-стимулдаштырылган люминесценттик (IRSL) таанышуунун натыйжалары.

Радиокарбондук метод менен жашты аныктоонун натыйжалары					
Үлгүлөр	Пункту	чыгыш узундук	түндүк көндик	Материал	Жашы (кал. жыл ушул күнгөчейин)
RC1	Аюу дарыясы	81.376	45.904	үлүл кабыгы	515-460 345-340
RC2	Аюу дарыясы жогору	81.364	45.897	үлүл кабыгы	3975-3835
Люминесценттик ыкма боюнча жаш					
Үлгүлөр	Пункту	чыгыш узундук	түндүк көндик	Терендик (м)	Жалпы доз.күч (Гр/кг)
DZH1	3 бөлүм грабен	81.660	45.751	0.65	3.91 ± 0.24
					17.0 ± 1.1

Кырлардын морфологиялык мөөнөтүн аныктоо анын пайда болуу курагын баалоо үчүн колдонулат. Хэнкс караган бул ыкманын принципи бир гана окуя кырларына карата колдонулушу мүмкүн жана убакыттын өтүшү менен жөнөкөй диффузия процесси катары бузулат деген гипотезага негизделген. Ушул божомолдон баштап, ар бир жарака – ортогоналдык топографиялык профиль үчүн кырдын морфологиясынан жана ага чектеш желдеткич беттеринен m^2 менен түүнчүлгөн диффузия (кт) курагы эсептелген. Жакын жайгашкан жана климатына оқшош Борохоро-Шандан алынган баа боюнча $4,19 \pm 0,65 m^2/kug$, кырлар канча убакытка диффузия процессине кабылаарын эсептөө үчүн массодиффузия колдонулду. Чөгүү жана кулоо сыйктуу диффузиялык эмес деградация процесстеринен диффузиялык деградацияга өтүү үчүн жүздөгөн жылдар талап кылышы мүмкүн. Диффузиялык этаптын башталышында баштапкы кыр бурчу (табигый энкейиш бурчу) $30^\circ - 35^\circ$ болуп кабыл алынат. Бул эмгекте баштапкы бурч 35° белгиленген жана «мүмкүн болгон» жалгыз кырлардын морфологиялык мөөнөтүн аныктоо үчүн ишке ашырылган, алар мурунку кырлардын пайда

булуу окуяларынын натыйжасы болушу мүмкүн болгон кырлар же чектеш желдеткич беттеринде кыйшаусуз так бир кадамды көрсөтөт. Бул ыкма дрондор менен алынган dGPS же PCM өлчөөлөрүнүн профилдерине гана колдонулат, алар жогорку сапатына байланыштуу кырдын морфологиясын жакшыраак көрсөтөт.

3-БӨЛҮМ. ПАЛЕОСЕЙСМОЛОГИЯЛЫК ИЗИЛДӨӨЛӨРДҮН НАТЫЙЖАЛАРЫ. *Лепси жаракасы* чыгыш, борбордук жана батыш бөлүктөргө бөлүнүп, Шынжылы жана Тентек дарыялары менен чектешет. Лепси жаракасынын чыгыш бөлүгү Жунгар Алатаосунун чегинде жайгашып, бийик тоолуу рельефи менен мүнөздөлөт (3.1-сүрөттү караңыз).

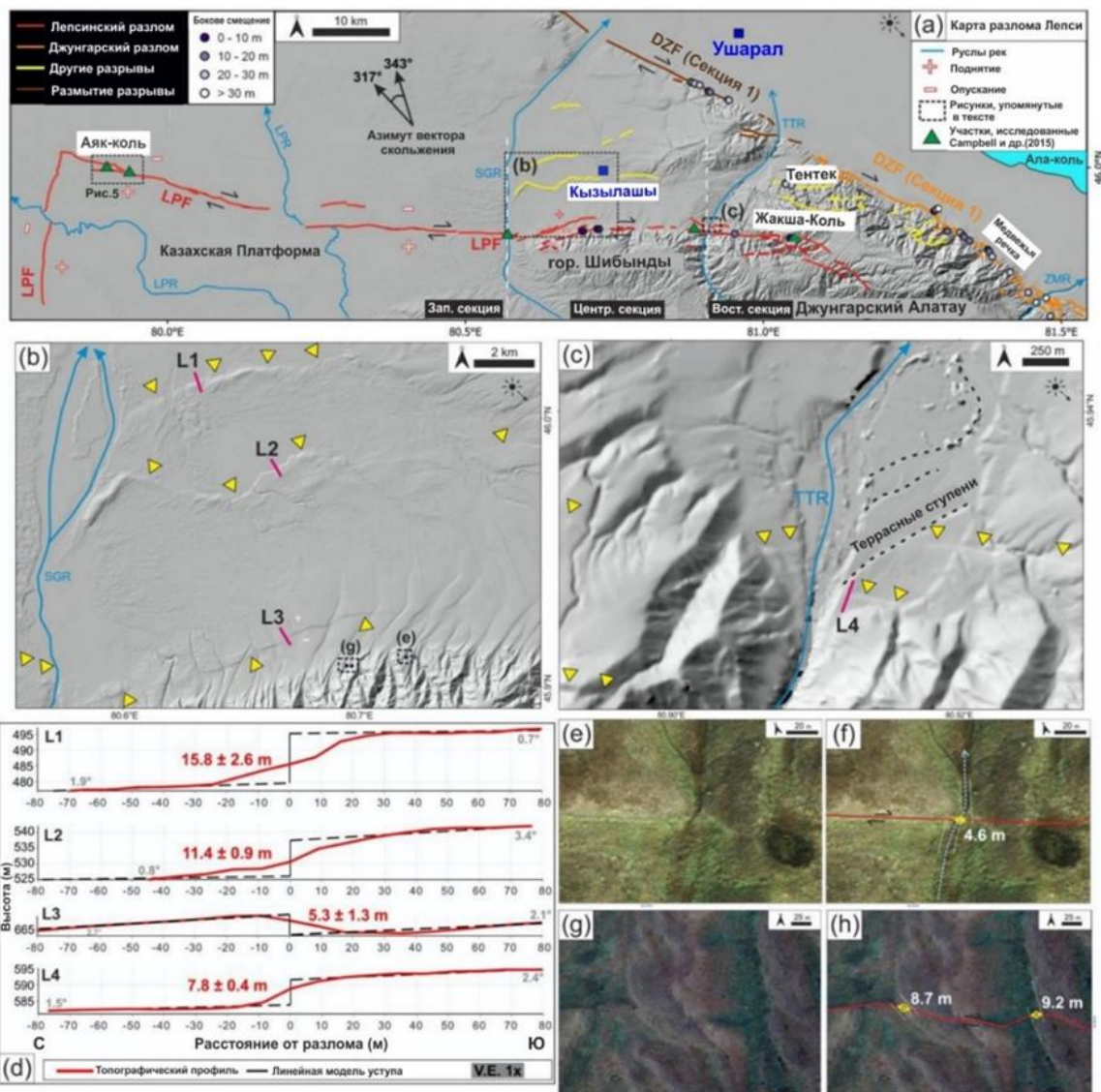
Чыгыш бөлүгү: Кэмпбелл жана башкалар (2015) бир катар эфемердик сайлардын жана аралык кыркалардын, суу агымын оң тарааптык 4-6 м жылышшуусу менен 9-13 м бийиктиги менен тосулган жылышшуусун аныкташкан. Жаксыкөл көлүнүн аймагындагы кураган көлмелөрдүн шурфунан алынган топурактын радиокөмүртектүү анализи кеминде 2000 жыл бою кырдын бар экенин көрсөтүп турат. (3.1-сүрөттү караңыз).

Борбордук бөлүгү: Шыбынды тоолорунун этегин бойлой өтөт. Тентек дарыясынын батыш тарабында бийиктиги 6-9 м жеткен каптал жылышы 7 м ге жакын кыр аныктаپ, бул жалгыз жер титирөөнүн натыйжасы болушу мүмкүн экенин белгилешкен. Бул кыркалардын бийиктиги 7-10 м түзөт (3.1-сүрөттү караңыз).

Батыш бөлүгү: Аяkkөл көлүнүн аймагында ар кандай жаштагы кыркалар табылган. бийиктиги 5-7 м болгон кырканын жашы радиокөмүртек жана люминесценттик анализдердин негизинде болжол менен б. з. ч. 400 жыл. Анын жашы биздин заманга чейинки 2245-1810-жылдар деп белгиленген. Аяkkөл көлүнүн чыгышында эки кыр биригип, бийиктиги болжол менен 9 м түзөт, бул эки башка сейсминалык окуянын натыйжасы деп болжолдонууда. Аяkkөл көлүнүн чыгыш тарабында, бийиктиги болжол менен 9 м болгон эки кыр биригип, эки башка сейсминалык окуяны көрсөтөт (3.1-сүрөттү караңыз).

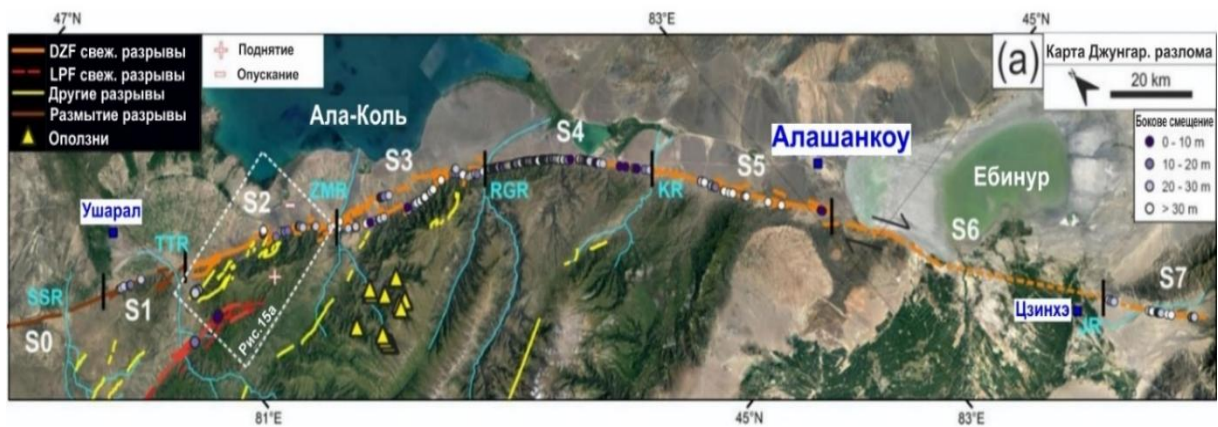
Кырлардын dGPS аркылуу морфологиялык жашын табуу орточо жаштыгы болжол менен 18 ± 0.9 мин жылды көрсөткөн, бул Кэмпбелдин ж. б. изилдөөлөрүндө айтылган 400 жылдан ашат. Ошондой эле, Шынжылы дарыясында жана Аяkkөл көлүнүн аймагындагы табылган байыркы чөкмөлөрдүн мөөнөтү болжол менен 5000 жыл деп такталган.

S0 жана S1 сегменттери Үшаралдын түштүгүнөн түндүк-батыш аягына чейин созулат. Жарака бузулган жээктер түрүндө гана байкалат, алардын көпчүлүгү дарыя эрозиясынан жок болгон. Бул аймактагы кыркалар жарым-жартылай аллювиалдык көрүнүштөр менен жок кылышынган (3.2-сүрөттү караңыз). *S2 сегменти* жакшы сакталган үзгүлтүксүз кырлар менен мүнөздөлөт (3.2-сүрөттү караңыз). Бул сегментте кыркалар бир жер титирөөдөн пайда болгон. Өзгөчө көнүл «Аюу дарыясы» тилкесине бурулат, анда максималдуу жылышуу болжол менен 12 метрди түзөт, ал эми бийиктиги 4.4 м болгон кошумча кырка 5.3–2.7 мин жылга туура келет. *S3 сегменти* Ыргыйты жана Жаманты дарыяларынын ортосунда эки бутакка бөлүнөт (3.2-сүрөттү караңыз).



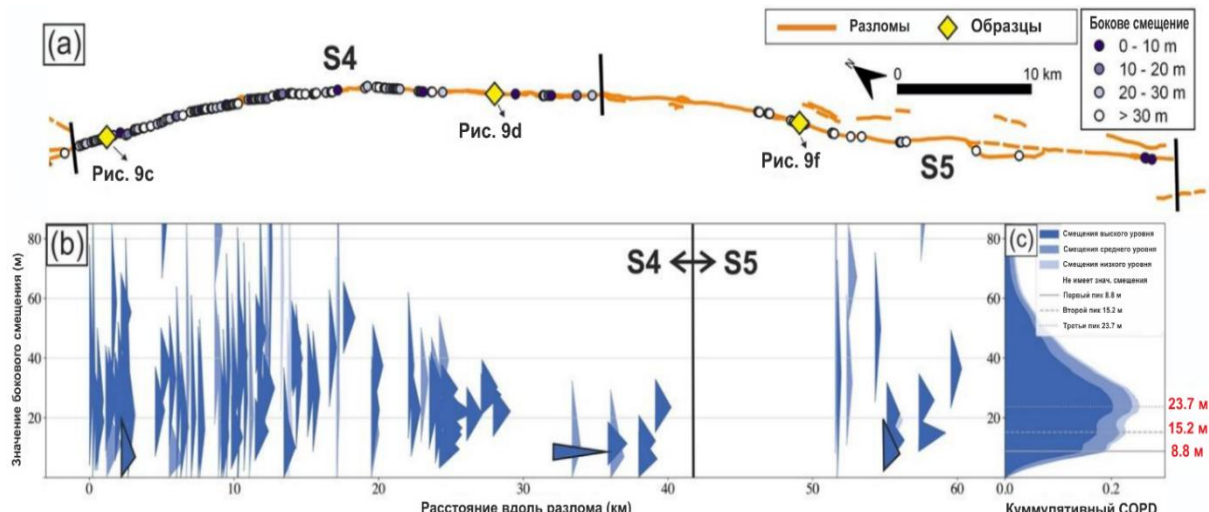
3.1-Сүрөт. Лепси жана Жунгар жаракасынын аймагынын картасы:

(a) Рельефтин санариптик модели (PCM НМА), Лепси жаракасын (кызыл сыйык) жана Жунгар жаракасынын бир бөлүгүн (кызғылт сары сыйык) менен көрсөтүлгөн. Үзүлтүксүз эңкейиши $>30^\circ$ боюнча аныкталган «жасы» кырлар сары түс менен белгиленген. Ак үзүк сыйыктар Лепси жаракасынын уч негизги бөлүгүн бөлүп турат. Капталдын жылышын өлчөө жерлери күлгүн чекиттер менен көрсөтүлгөн. Жылышуунун векторунун эсептелген азимут диапазону Кэмпбелл ж.б. (2015) боюнча 317° – 343° . LPR-Лепси дарыясы; SGR- Шынжылы дарыясы; TTR-Тентек дарыясы, ZMR – Жаманты дарыясы. (б) Лепси жаракасынын борбордук бөлүгүндө («а» караңыз) уч топографиялык профилдердин (L1, L2 жана L3) позициялары менен экинчилик кырлар, кыска кызыл сыйыктар менен көрсөтүлгөн. (с) Топографиялык профили (L4) белгиленген Тентек дарыясына жанаша жайгашкан жаракалар. Кара үзүк сыйыктар - дарыянын террасасы. (д) PCM НМА алынган топографиялык профилдер. (е) жана (г) Лепси жаракасынан табылган эң аз каптал жылыштары бар объекттердин спутниктик сурөттөрү, жайгашкан жер үзүн «б» караныз, жылышуулардын маанилерин (ж) жана (ж) көрсөтүлгөн.



3.2-Сүрөт. Изилдөө аймагынын космостон Google Earth алынган сүрөтү: Жунгар жаракасы (*DZF*), Лепси жаракасынын чыгыш бөлүгү (*LPF*), ошондой эле Жунгар Алатоо тоолорундагы экинчи жаракалар жана картага түшүрүлгөн жер көчкүлөр. Жылышууну өлчөө жерлери чекиттер менен белгиленген. *SSR*- Шыңжылы дарыясы; *TTR*- Тентек дарыясы; *ZMR*- Жаманты дарыясы; *RGR*- Рыгайты дарыясы; *KR*: Токты дарыясы; *JR*- Цзин дарыя.

Түндүк бутагы вертикальдык жылышуусу жана оң тайгалануусу бар, бийиктиги болжол менен 14 м. Түштүк бутагы 7,3 метрден 9,2 метрге чейинки эң кичине капитал жылышуусу менен оң капитал жылышуусу менен мүнөздөлөт. *S4* жана *S5* сегменттеринде орто азимуту менен 328° жылышуу мүнөзү басымдуулук кылат (3.2-сүрөттү караңыз). Ченелген 6.9–8.8 м капитал жылыштар акыркы үч жер титирөөнүн натыйжасындағы кыймылын тастыктаган. Жылышуунун кумулятивдик тыгыздыгын талдоо (*COPD*) 8.8 м, 15.2 м жана 23.7 м болгон үч чокуну көрсөтөт (3.3-сүрөттү караңыз). *S6* жана *S7* сегменттеринде жарака 328° га созулган таза жылыш катары көрүнөт (3.2-сүрөттү караңыз).



3.3-Сүрөт. Жунгар жаракасынын *S4* жана *S5* тилкелеринин маршруту (а). Жылышуунун ыктымалдык тыгыздыгынын (*COPD*) графиги (б). Ыктымалдуу жылышуунун кумулятивдик тыгыздыгынын (*COPD*) үч чокусунун маанилери кызыл сандар менен белгиленген (с).

Жаңы жәэктер анықталған жок, бирок 20-30 метрлик оң капиталдық жылыштар байкалат. Қырлардың диффузия коэффициентинин (кт) орточо жашы $11.3 \pm 1.6 \text{ м}^2$ түзөт, бул 2-3.6 миң жашка чейинки мезгилди көрсөтөт. Жунгар жана Лепси жаракаларының ортосундагы өткөөл зонадагы тоо қыркаларының четинде, айрықча батыш жана тұндық капиталдарындагы өрөөндөрдө кичинекей көлдөрдү пайда қылған жаңы жаракалар жана таш көчкүлөр табылды (3.2-сүреттү карагыла).

4 -БӨЛҮМ. ПАЛЕО-ЖЕР ТИТИРӨӨЛӨРДҮН МУМКҮН БОЛГОН СЦЕНАРИЙЛЕРИ. Жаракаларды моделдөөнүн натыйжалары, болжолдуу палео-жер титирөөлөрдүн магнитудалары эки сценарий боюнча жана изилденүүчү аймактагы заманбап жана тарыхый сейсминалык салыштыруунун натыйжалары берилген.

Палео-жер титирөөлөрдүн эки сценарийи каралды. Бириңчи сценарийде (S1) аймактагы жаракалар бир жер титирөөнүн натыйжасында, анын ичинде Лепси жана Жунгар жаракаларының ортосундагы өткөөл зонада пайда болгон деп болжолдонууда. Экинчи сценарийде (S2) Жунгар жаракасының S2-S7 сегменттери бир убакта түзүлгөн. Тажрыйбалык мамилелерди жана жылышшуу менен бузулуу узундугунун ортосундагы масштабдуу мамилелерди колдонуу менен S1 үчүн $Mw \approx 7.7 - 8.2$ жана S2 үчүн $Mw \approx 7.7 - 8.0$ диапазонундагы Mw магнитудалары эсептелген. Комплекстүү сейсминалык моментин колдонуу S1 үчүн 8.1-8.4 диапазонундагы Mw моментинин чондуктарын жана S2 деги Жунгар жаракасы үчүн гана 7.9-8.2 диапазонунда алууга мүмкүндүк берет.

Магнитуданын эсептелген моменттеринин диапазондору Чиликтеги ($Mw \approx 8.0 - 8.3$) жана Чоң-Кеминдеги ($Mw \approx 7.8 - 8.0$) жер титирөөлөрүндө алынгандарга оқшош (Абдрахматов К. 2016, Крюгер Ф. 2017, Куликова Г. 2015, Арросмиз Р. 2017), деформациянын төмөнкү ылдамдыгына карабастан, тұндық Тянь-Шандагыдай болгон жер титирөөлөр Жунгар Алатоосунда болушу мүмкүн экенин көрсөтүп турат.

Алынган маалыматтар көрсөткөндөй, Жунгар Алатоосунан Казак платформасына чейин чыгыш-батыш багытында болжол менен 120 км багытына созулған Лепси жаракасы мурда эң күчтүү жер титирөөлөрдү башынан өткөргөнүн көрсөтүп турат. Изилдөөчүлөрдүн Лепси жаракасының жер үстүндөгү акыркы окуялардың жашы боюнча эсептөөлөрү бул жерде эки чоң жер титирөө болгонун көрсөтүп турат: бириңчиси кеминде 5000 жыл мурун жараканын батыш бөлүгүндө, әкинчиси 400 жылдай мурун бүткүл узундугу боюнча. Ар кандай эмпирикалык мамилелерди колдонуу менен жер титирөөнүн өлчөмүн эсептөөлөр акыркы окуянын максималдуу күчү 7.5-8.2 болушу мүмкүн экенин көрсөтүп турат.

Бул маалыматтар Лепсидеги жер титирөө Мушкетов, Орловдун каталогунда 1715-жылы Жунгариядагы эң алгачкы катуу жер титирөө катары айтылған окуя болушу мүмкүн экенин көрсөтүп турат. Бирок бул учурда эки башка жер титирөө болгон деп айтууга негиз бар. Кытай каталогунда 1716-жылы магнитудасы 7.5 Текес жер титирөөсү тууралуу маалымат бар, анын очогу болжолдонғон Лепси жер титирөөсүнөн түштүк тарапта, болжол менен 300 км алыстыкта жайгашкан.

Болбосо, Текес жер титирөөсү Лепси жер титирөөсүнө жакын тарыхый мезгилде (болжол менен 400 жыл мурун) болгонуна карабастан, мейкиндик жактан булар башка булактар болгон. Эки жер титирөө тен абдан күчтүү болуп, магнитудасы $Mw = 7.5$ болгон, бирок алардын эпицентрлери ар башка жерлерде жайгашкан.

Түндүк Тянь-Шандын жана Жунгариянын аймагындағы күчтүү жер титирөөлөрдүн көрүнүшүнүн маанилүү өзгөчөлүгү алардын активдүүлүктүү белгилүү мезгилдериндеги мейкиндик-убакыттык топко бөлүнүшү болуп саналат. Мисалы, XIX кылымдын аягы жана XX кылымдын башында бир сейсмогендик зонанын чегинде Вернен (1887), Чилик (1889) жана Чон Кемин (1911) сыйктуу бир нече күчтүү жер титирөөлөр болуп, алардын экөөсү магнитудага 8ден ашык болгон. Ушундай эле көрүнүш Жунгария аймагында да байкалат.

Жунгариядагы күчтүү жер титирөөлөрдүн убактылуу бөлүштүрүлүшү боюнча маалыматтар келтирилген, алар күчтүү жер титирөөлөрдүн жана тынч мезгилдердин болушу менен активдешүү мезгилиниң алмашып турушун көрсөтүп турат. Учурда бул аймактагы эң күчтүү жер титирөөлөдүн сейсминалык тыныгуусу байкалууда.

Ар кандай булактардан алынган маалыматтарды колдонуу Жунгариядагы айрым жер титирөөлөрдүн параметрлерин тактоого мүмкүндүк берди. Мисалы, 1906-жылы болгон Манас жер титирөөсү жана 1944-жылы болгон эки Сиянь жер титирөөсү кайрадан бааланып, алардын параметрлерин Борбордук Азиядагы жер титирөөлөрдүн каталогуна киргизилген. Бул маалыматтар ошондой эле 1979-жылдагы Баканас жер титирөөсүнүн мүнөзүн жакшыраак түшүнүүгө жардам берди. Жунгариянын ар кайсы аймактарындағы жер титирөөлөрдө негизги силкинүүлөрдүн жана жер титирөөлөрдүн көрүнүшүндө окшоштуктар аныкталды. Азыркы учурда эң күчтүү жер титирөөлөрдүн сейсминалык басаңдашына карабастан, азыраак (5-6) магнитуда менен жер титирөөлөр Казакстанда да, Кытайда да болуп жатат.

Анализ көрсөткөндөй, бардык учурларда жер титирөөлөрдүн очокторунда процесстердин өнүгүү өзгөчөлүктөрү, анын ичинде Түндүк - жана Түштүк-Чыгыш созулуусунда тик тегиздиктеринин айкалышы жана алардын кыймыл схемасына өз ара таасири байкалат. Афтершок иш-аракеттери, ошондой эле алардын пайда болуу очокторунун мейкиндикте бөлүштүрүлүшүнө байланыштуу белгилүү бир мыйзам ченемдүүлүктөрү менен мүнөздөлөт.

Азыркы он жылдагы Джунгария аймагындағы сейсминалык кырдаал туруксуздугу менен айырмаланып турат. 2007-жылдан бери 3 магнитуда менен жана андан жогору болгон сейсминалык окуялардын ар кандай энергетикалык диапазондорун камтыган жер титирөөлөрдүн санынын көбөйүшү менен алсыз сейсмикалуулугунун өсүшү байкалды. Магнитудасы 5 же андан жогору болгон окуялардын санынын өсүү тенденциясы аймактагы активдүүлүктүү жогорулагандыгын көрсөтүп турат.

ЖЫЙЫНТЫКТОО

Аткарылган иштин негизги корутундулары жана натыйжалары болуп төмөнкүлөр саналат:

1. Изилдөөлөрдүн натыйжалары ири континент ичиндеги жылышшуу жаракасында жер титирөө болушу мүмкүн экендигинин баалуу мисалын көрсөтөт. Палео-жаракалардын спутниктен алынган сүрөттөрүнүн жана талаа изилдөөлөрүнүн анализдери жана байкоолору боюнча Жунгар-Лепси биргелешкен жер ажыроосунун узундугу 375 кмге чейин жетип, акыркы 4000 жыл ичинде болгон чоң жер титирөөнүн кесепети ыктымалдыгын көрсөтүп турат.

2. Бул татаал жер титирөө түндүк жылышшуу сегменттеринде ~20 метр жана түштүк таза жылышшуу сегментинде 6-9 метрге жеткен эки өзүнчө жарака жана алардын ортосунда бөлүштүрүлгөн жарака кыймылы менен байланыштуу болгон. Жунгар жана Лепси жаракаларындагы бул палео-жер титирөөнүн болжолдуу магнитудасы $Mw=8.4$ жетет, бул аны эң ири ички континенталдык жер титирөөлөрдүн катарына киргизет.

3. Жунгария аймагынын сейсминалык тарыхы боюнча жаңы маалыматтар алынды, Балхаш аймагында Лепси жаракасында мурда күчтүү жер титирөөлөр болгонун, алардын акыркысынын магнитудасы болжол менен $Mw=8$, жана ал болжол менен 400 жыл мурун болгонун көрсөтүп турат. Ошол эле учурда Жунгарияда болжолдонгондой бир эмес, күчү $Mw=7.5-8.2$ жана $Mw=7.5$ болгон - Лепси жана Текесс эки башка күчтүү жер титирөөлөрү болгон.

4. Бул фактыйдан сейсминалык коркунучту баалоодо жана узак мөөнөттүү деформацияларды эске алууда изилдөөлөр аспаптык байкоолордун мезгилиinin маалыматтары менен гана чектелбестен, бир кыйла көбүрөөк убакытты камтыши керек деген тыянак келип чыгат. Лепси жаракасынын мисалы көрсөткөндөй, туруктуу деп эсептелген аймактардагы курулуштар иш жүзүндө чынында сейсминалык жактан кооптуу болушу мүмкүн.

5. Казакстандын аймагындагы Жунгариядагы жана Кытайдын аймагындагы акыркы мезгилдеги эң күчтүү жер титирөөлөрдүн ар кандай параметрлерин салыштыруу алардын параметрлеринин жана баштапкы процесстеринин өнүгүшүнүн сценарийлеринин чоң окшоштугун көрсөтөт. Казакстандагы Текелидеги жер титирөө жана Кытайдагы Борохор эки жер титирөөлөрү бул аймакта иштеп жаткан чыналуунун бирдиктүү системасы жөнүндөгү корутундуу тастыктай турганы көрсөтүлгөн.

6. Күчтүү жер титирөөлөр боюнча жаңы сейсминалык маалыматтар Жунгариядагы геодинамикалык курулуштар жана тектоникалык интерпретациялар үчүн негиз болуп берет жана жаңы муундун сейсминалык райондоштуруу карталарын түзүүдө күчтүү жер титирөөлөрдүн аныкталган очокторун эске алынуусу керек.

ДИССЕРТАЦИЯНЫН ТЕМАСЫ БОЮНЧА ЖАРЫЯЛАНГАН ЭМГЕКТЕРДИН ТИЗМЕСИ

1. Mukambayev A. Central Asia earthquake catalogue from ancient time to 2009 /Mikhailova N.N., Aristova I.L., Kulikova G., Ullah S., Pilz M., Bindi D. //

Annals of Geophysics. – 2015. - Vol 58. – No 1. (Scopus, IF1). Процентиль 57%, CiteScore 2.3, Квартиль - 3,0. – Кирүү режими:
<https://www.elibrary.ru/item.asp?id=27837335>

2. Mukambayev A. Multisegment rupture in the 11 July 1889 Chilik earthquake (Mw 8.0-8.3), Kazakh Tien Shan, interpreted from remote sensing, field survey, and paleoseismic trenching /Abdrakhmatov, K. E., Walker, R. T., Campbell, G. E., Carr, A. S., Elliott, A. J., Hilleman, C., Hollingsworth, J., Landgraf, A., Mackenzie, D., Mukambayev, A., Rizza, M., & Sloan, R. A. // Journal of Geophysical Research: Solid Earth, – 2016, – Vol. 121, – Iss. 6, – P. 4615-4640. (Scopus, IF- 3.65). Процентиль 90%, CiteScore 6.0, квартиль - 1,0. – Кирүү режими:
<https://www.elibrary.ru/item.asp?id=27063250>

3. Mukambayev A. Assessing the activity of faults in continental interiors: Palaeoseismic insights from SE Kazakhstan / Grützner, C., Carson, E., Walker, R. T., Rhodes, E. J., Mukambayev, A., Mackenzie, D., Elliott, J. R., Campbell, G. E., & Abdrakhmatov, K. E. // Earth and Planetary Science Letters. – 2017, – Vol. 459, – P. 93–104. (Scopus, IF- 3.166). Процентиль 98%, CiteScore 8.6, квартиль - 2,0. – Кирүү режими: <https://www.elibrary.ru/item.asp?id=27969733>

4. Mukambayev A. Active Tectonics Around Almaty and along the Zailisky Alatau Rangefront / Grützner, C., Walker, R. T., Abdrakhmatov, K. E., Mukambayev, A., Elliott, A. J., & Elliott, J. R // Tectonics, – 2017, – Vol. 36, – Iss. 10, – P. 2192–2226. (Scopus, IF- 2.5). Процентиль 93%, CiteScore 6.5, квартиль - 1,0. – Кирүү режими: <https://www.elibrary.ru/item.asp?id=31040632>

5. Mukambayev A. A creeping intracontinental thrust fault: past and present slip-rates on the Northern edge of the Tien Shan, Kazakhstan / Mackenzie D., Walker R.T., Abdrakhmatov K., Campbell G., Carr A.S., Grützner C., Mukambayev A., Rizza M.// Geophysical Journal International. – 2018. – Vol. 215, – Iss.2, – P.1148-1170. (Scopus, IF- 3.22). Процентиль 76%, CiteScore 4.5, квартиль - 2,0. – Кирүү режими: <https://www.elibrary.ru/item.asp?id=38648991>

6. Mukambayev A. Shortening Accommodated by Thrust and Strike-Slip Faults in the Ili Basin, Northern Tien Shan. / Grützner, C., Campbell, G. E., Walker, R. T., Jackson, J. A., Mackenzie, D., Abdrakhmatov, K. E., & Mukambayev, A. //Tectonics. – 2019, – Vol. 38, – Iss. 7, – P. 2255-2274. (Scopus, IF- 4.3). Процентиль 87%, CiteScore 5.9, квартиль - 1,0. – Кирүү режими:
<https://www.elibrary.ru/item.asp?id=41666940>

7. Мукамбаев А.С. Жунгариянын сейсминалык тарыхынын жаңы деталдары жана азыркы сейсминалуулугу / Михайлова Н.Н., Мукамбаев А.С., Полешко Н.Н., Аристова И.Л. //Казакстан Республикасынын Улуттук ядролук борборунун Вестниги. – 2019. – Чыгарылыш. 2. – 81-87 б. – Кирүү режими:
https://kndc.kz/knkc/docs/publication/2019_4.pdf

8. Мукамбаев А.С. Чыгыш Жунгар жаракасынын зонасындагы азыркы сейсминалуулугу жана байыркы жер титирөөлөрдүн издері / Абдрахматов К.Е. // Кыргызстандын илими, жаңы технологиялары жана инновациялары. – 2021-жыл – 1-чыгарылыш. – Кирүү режими:
<http://science-journal.kg/ru/journal/1/archive/14061>

9. Мукамбаев А.С. Казакстан Республикасынын Улуттук ядролук борборунун сейсминалык станциялары жана алардын Чыгыш Казакстандын сейсминалык коркунучун баалоо маселелерин чечүүгө кошкон салымы / Михайлова Н.Н., Мукамбаев А.С. // Казакстан Республикасынын Улуттук ядролук борборунун Вестниги. – 2022. – 2-чыгарылыш. – 3–16 б. – Кирүү режими: <https://www.elibrary.ru/item.asp?id=48683408>

10. Mukambayev A. Probing the upper end of intracontinental earthquake magnitude: a prehistoric example from the Dzhungarian and Lepsy faults of Kazakhstan / Tsai C.-H., Abdurakhmatov K., Mukambayev A., Elliott A.J., Elliott J.R., Grützner C., Rhodes E.J., Ivester A.H., Walker R.T., Wilkinson R. // Tectonics. – 2022, – Vol.41, – Iss.10. (Scopus, IF- 4.3). Процентиль 93%, CiteScore 8.7, квартиль - 1.0. – Кирүү режими: <https://www.elibrary.ru/item.asp?id=57391609>

Мукамбаев Айдын Сериковичтин 25.00.01 – жалпы жана аймактык геология адистиги боюнча геология-минералогия илимдеринин кандидаты илимий даражасын алуу үчүн “Чыгыш Тянь-Шань жана Жунгариянын азыркы сейсмикалуугу жана палеосейсмологиясы” аттуу диссертациялык ишинин

РЕЗЮМЕСИ

Негизги сөздөр: активдүү жарака, жер титирөө, сейсминалык коркунуч, сейсминалык мониторинг, магнитуда, жер титирөөнүн каталогу, фокалдык механизмдер.

Изилдөөнүн объектиси болуп активдүү жаракалар, Жунгардын тарыхый жана заманбап сейсмикалуулугу болуп саналат саналат.

Изилдөөнүн предмети: Жунгариянын аймагында аныкталган Чыгыш Тянь-Шандын ири континенталдык жер титирөөлөрүнүн пайда болуу шарттары жана мунөздөмөлөрү.

Иштин максаты: активдүү жаракалар жөнүндөгү маалыматтардын негизинде Жунгариянын аймагынын сейсминалык коркунучун кайрадан баалоо.

Изилдөө методдору жана аппаратура: сейсмологиялык мониторинг; сейсминалык каталогдорду жалпылоо, системалаштыруу, салыштыруу жана статистикалык талдоо; ЖАЗ жана УУА маалыматтарын чогултуу, иштетүү жана талдоо; горизонталдык жана верикалдык жылыштарды өлчөө; төртүнчүлүк чөкмөлөрдү морфологиялык талдоо жана мөөнөтүн аныктоо; заманбап программалык каражаттарды колдонуу менен ар кандай тематикалык карталарды куруу; изилдөө жүргүзүү үчүн төмөнкү аппаратура колдонулду: УУА DJI Phantom 4Pro, прибор GNSS Trimble Spectra SP60.

Изилдөөнүн натыйжалары жана илимий жаңыллыгы. Чыгыш Казакстандын негизги жаракаларынын (Жунгар жана Лепси жаракалары) сейсминалык коркунуч деңгээли бааланган. Жунгар жаракасынын сейсмопотенциалы жана ага байланыштуу сейсмогенерация зонасы чоңойтулган. Тарыхый мезгилден 2023-жылга чейинки Жунгария аймактарындағы жер титирөөлөрдүн бирдиктүү каталогу түзүлгөн.

Колдонуу боюнча сунуштар. Күчтүү жер титирөөлөр жөнүндө жаңы сейсмикалык маалыматтар Жунгариядагы геодинамикалык курулуштарга жана тектоникалык интерпретацияларга негиз берет, эң күчтүү жер титирөөлөрдүн аныкталган очоктору жаңы муундагы сейсмикалык зоналаштыруу карталарын эсептөөдө эске алынууга тийиш.

Колдонуу чөйрөсү. Изилдөөнүн жыйынтыктары ар кандай деталдуулуктагы сейсмикалык райондоштуруу карталарын түзүүдө колдонулат. Алынган натыйжалар имараттардын жана курулмалардын курулушунда эске алуу керек болгон топурактын интенсивдүүлүгүнүн жана максималдуу жогорку ылдамдануусунун маанилеринин көнүлгө алууга туура келет.

РЕЗЮМЕ

**диссертации Мукамбаева Айдына Сериковича на тему
«Современная сейсмичность и палеосейсмология восточного Тянь-Шаня
и Джунгарии» на соискание ученой степени кандидата геолого-
минералогических наук по специальности 25.00.01 – общая и
региональная геология**

Ключевые слова: активный разлом, землетрясение, сейсмическая опасность, сейсмический мониторинг, магнитуда, каталог землетрясений, механизмы очагов.

Объектом исследования являются активные разломы, историческая и современная сейсмичность Джунгарии.

Предмет исследования: условия возникновения и характеристики крупных континентальных землетрясений восточного Тянь-Шаня, выявленных на территории Джунгарии.

Цель работы: переоценка сейсмической опасности территории Джунгарии на основе данных об активных разломах.

Методы исследования и аппаратура: сейсмологический мониторинг; создание, обобщение, систематизация, сравнение и статистический анализ сейсмических каталогов; сбор, обработка и анализ данных ДЗЗ и БПЛА; измерения горизонтальных и вертикальных смещений; морфологический анализ и датировка четвертичных отложений; применение современных программных средств для построения различных тематических карт; для проведения исследования использована следующая аппаратура: БПЛА DJI Phantom 4Pro, прибор GNSS Trimble Spectra SP60.

Полученные результаты и их новизна. Оценен уровень сейсмической опасности главных разломов восточного Казахстана (Джунгарский и Лепсиский разломы). Увеличен сейсмопотенциал Джунгарского разлома и связанной с ним сейсмогенерирующей зоны. Составлен унифицированный каталог землетрясений территории Джунгарии с исторических времен по 2023 год.

Рекомендации по использованию. Новые сейсмические данные о сильных землетрясениях дают основу для геодинамических построений и тектонических интерпретаций в Джунгарии, выявленные очаги сильнейших

землетрясений должны быть учтены при расчетах карт сейсмического зонирования нового поколения.

Область применения. Результаты исследования будут использованы при создании карт сейсмического зонирования разной детальности. Полученные результаты повлекут за собой расчеты значений интенсивности и максимальных пиковых ускорений грунта, которые надо учитывать при строительстве зданий и сооружений.

SUMMARY

**of the dissertation by Aydyn Serikovich Mukambaev
on the topic “Modern Seismicity and Paleoseismology of the Eastern Tien Shan and Dzungaria” submitted for the degree of Candidate of Geological and Mineralogical Sciences specialty 25.00.01 – general and regional geology**

Key words: active fault, earthquake, seismic hazard, seismic monitoring, magnitude, catalog of earthquakes, focal mechanisms.

The object of the study is active faults, historical and modern seismicity of Dzungaria.

Subject of the study: conditions of origin and characteristics of large continental earthquakes of the eastern Tien-Shan identified on the territory of Dzungaria.

Purpose of work: reassessment of seismic hazard of the territory of Dzungaria on the basis of data on active faults.

Research methods and equipment: seismological monitoring; creation, generalization, systematization, comparison and statistical analysis of seismic catalogs; collection, processing and analysis of remote sensing and UAV data; measurements of horizontal and vertical displacements; morphological analysis and dating of Quaternary sediments; application of modern software for the construction of various thematic maps; the following equipment was used for the study: UAV DJI Phantom 4Pro, GNSS Trimble Spectra SP60.

Obtained results and their novelty. The level of seismic hazard of the main faults of eastern Kazakhstan (Dzungarian and Lepsin faults) has been estimated. The seismic potential of the Dzungarian fault and the associated seismic generating zone has been increased. A unified catalog of earthquakes in the territory of Dzungaria from historical times to 2023 has been compiled.

Recommendations for use. New seismic data on strong earthquakes provide a basis for geodynamic constructions and tectonic interpretations in Dzungaria, the identified sources of strongest earthquakes should be taken into account in calculations of new generation seismic zoning maps.

Scope of application. The results of the study will be used in the creation of seismic zoning maps of different detail. The obtained results will entail calculations of intensity values and maximum peak ground accelerations, which should be taken into account in the construction of buildings and structures.

